



INSTITUTO DE INGENIERÍA  
MATEMÁTICA Y COMPUTACIONAL  
PONTIFICIA UNIVERSIDAD CATÓLICA DE CHILE



PONTIFICIA  
UNIVERSIDAD  
CATÓLICA  
DE CHILE

# IMT3410: Métodos para ecuaciones diferenciales

Clase 27

**Manuel A. Sánchez**  
**2024.11.18**

# Leyes de Conservación; caso escalar

## Ley de conservación escalar

Consideramos la ley de conservación escalar

$$\frac{\partial u}{\partial t} + \frac{\partial}{\partial x} f(u) = 0 \quad (x, t) \in \Omega_x \times \Omega_t$$

donde  $u = u(x, t)$ ,  $u(x, 0) = u_0(x)$  y  $f(u) = f(u(x, t))$ . Podemos reescribir la ecuación como

$$\frac{\partial u}{\partial t} + \frac{\partial u}{\partial x} f'(u) = 0 \quad (x, t) \in \Omega_x \times \Omega_t$$

Las **líneas características** están dadas por

$$\frac{dX(t)}{dt} = f'(u)$$

con condición inicial  $X(0) = x_0$ . Observamos fácilmente que la solución es constante a lo largo de las características

$$u(x, t) = u_0(x - f'(u)t)$$

## Ley de conservacion escalar

Teorema de la función implícita  $F(x, t) = u - u_0(x - f'(u)t) = 0$ . Así,

$$\frac{\partial u}{\partial x} = \frac{-u'_0}{1 + u'_0 f''(u)t} \quad , \quad \frac{\partial u}{\partial t} = \frac{u'_0 f'(u)}{1 + u'_0 f''(u)t}$$

Si  $u'_0 f''(u) < 0$ , entonces las derivadas se vuelven no acotadas cuando se incrementa  $t$ . En particular, si  $f$  es convexa,  $f''(u) > 0$ , toda condición inicial con un gradiente negativo formará una discontinuidad en tiempo finito.

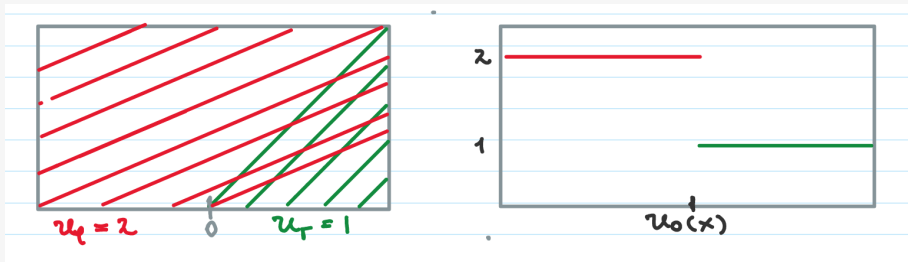
**Ejercicio:** Muestre que si resuelve la ecuación con  $f(u) = u^2/2$  con una condición inicial suave  $u_0(x)$  para la cual  $u'_0(x) < 0$  para algún  $x$ , entonces la onda se quebrará en el tiempo:

$$T_b = \frac{-1}{\min u'_0(x)}$$

## Ilustración: ecuación de Burgers inviscida

Para  $x > T_b$  algunas características se han cruzado entonces hay puntos  $x$  donde hay más de una característica que lleva a  $t = 0$ . Se puede ver la solución  $u$  en este tiempo como una función con múltiples valores.

¿Qué hacemos luego de que se forma la discontinuidad?



$$u(x, t) = u_0(x - ut), \quad \frac{dX}{dt} = u \quad \implies \quad X(t) = x_0 + ut$$

# Ley de conservacion esclar

Propagación de la discontinuidad

$$\frac{d}{dt} \int_{-L}^L u(x, t) dx = f(u_L) - f(u_R)$$

si asumimos que la discontinuidad se mueve con velocidad  $s$ , entonces

$$\int_{-L}^L u(x, t) dx = (st - L)u_L + (L - st)u_R$$

de donde

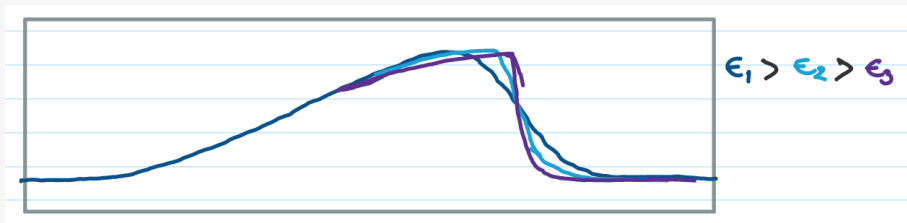
$$s(u_R - u_L) = f(u_L) - f(u_R)$$

esta es la condición de salto de **Rankine-Hugoniot**

# Vanishing Viscosity

Consideremos por un momento la ecuación de Burgers con viscosidad

$$\frac{\partial}{\partial t} u + u \frac{\partial}{\partial x} u = \epsilon \frac{\partial^2 u}{\partial x^2}$$





## Soluciones débiles

Sea  $\phi \in C_0^1(\mathbb{R} \times \mathbb{R})$

$$\int_0^\infty \int_{-\infty}^\infty \left( \phi \frac{\partial u}{\partial t} + \phi \frac{\partial}{\partial x} (f(u)) \right) dx dt = 0$$

$$\int_0^\infty \int_{-\infty}^\infty \left( \frac{\partial \phi}{\partial t} u + \frac{\partial \phi}{\partial x} f(u) \right) dx dt = - \int_{-\infty}^\infty \phi(x, 0) u(x, 0) dx$$

### Definition

La función  $u(x, t)$  es llamada una solución débil de la ley de conservación si la ecuación anterior se satisface para toda función  $\phi \in C_0^1(\mathbb{R} \times \mathbb{R})$

## Soluciones débiles

**Observación:** Las soluciones débiles en general no son únicas. Queremos escoger la solución *correcta*, la solución vanishing viscosity es la físicamente correcta. Llamaremos a esta la solución de entropía.

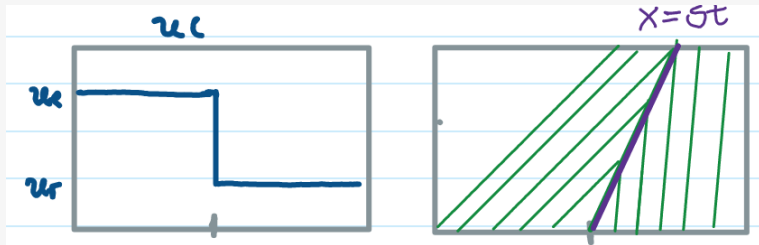
**Problema de Riemann** Ley de conservación + dato inicial constante a trozos con una discontinuidad

$$\frac{\partial u}{\partial t} + \frac{\partial}{\partial x} f(u) = 0$$
$$u(x, 0) = \begin{cases} u_L & x < 0 \\ u_R & x > 0 \end{cases}$$

## Ejemplo: Problema de Riemann, ecuación de Burgers

□ Si  $u_L > u_R$ . Entonces existe una única solución débil

$$u(x, t) = \begin{cases} u_L & x < st \\ u_R & x > st \end{cases}, \quad \text{donde} \quad s = \frac{[u^2/2]}{[u]} = \frac{u_L^2 - u_R^2}{2(u_L - u_R)} = \frac{(u_L + u_R)}{2}$$



## Ejemplo: Problema de Riemann, ecuación de Burgers

**Ejercicio:** Verifique que esta es una solución débil

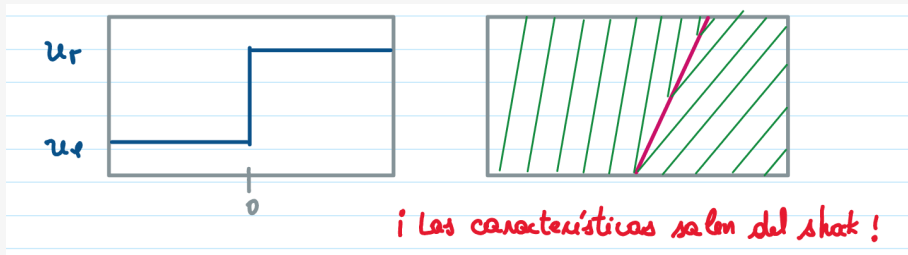
Además, la solución de la ecuación con viscosidad está dada por

$$u^\epsilon(x, y) = w(x - st); \quad w(y) = u_R + \frac{(u_L - u_R)}{2} \left(1 - \tanh\left(\frac{(u_L - u_R)y}{4\epsilon}\right)\right)$$

Esto indica que la solución con discontinuidad o "shock" es la solución a la cual converge las soluciones del problema con vanishing viscosity.

## Ejemplo: Problema de Riemann, ecuación de Burgers

- 1 Si  $u_L < u_R$ . En este caso hay infinitas soluciones débiles. Por ejemplo, podemos construir una solución similar a la del caso anterior

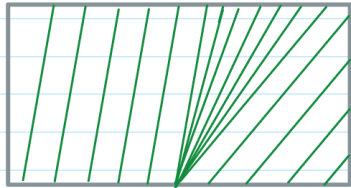


y demostrar que esta es una solución débil

## Ejemplo: Problema de Riemann, ecuación de Burgers

Una segunda solución débil es la conocida como **onda de rarefacción**

$$u(x, t) = \begin{cases} u_L & x < u_L t \\ x/t & u_L t \leq x \leq u_R t \\ u_R & x > u_R t \end{cases}$$



Esta además es la solución de vanishing viscosity. La solución de rarefacción para el caso de ley de conservación general es

$$u(x, t) = \begin{cases} u_L & x < f'(u_L)t \\ \nu(x/t) & f'(u_L)t < x < f'(u_R)t \\ u_R & x > f'(u_R)t \end{cases}$$

donde  $\nu$  es la solución de  $f'(\nu(\xi)) = \xi$

## Condiciones de entropía

- 1 Una discontinuidad propagandose con velocidad  $s = \frac{[f(u)]}{[u]}$  satisface la **condición de entropía** si

$$f'(u_L) > s > f'(u_R)$$

Si  $f$  es convexa  $\implies f'(u_L) > f'(u_R) \implies u_L > u_R$

- 2  $u(x, t)$  es la solución de entropía si todas las discontinuidades tienen la propiedad

$$\frac{f(u) - f(u_L)}{u - u_L} \geq s \geq \frac{f(u) - f(u_R)}{u - u_R}$$

Para todo  $u$  entre  $u_L$  y  $u_R$

# Métodos para Leyes de conservación lineales



## Método de líneas

**Método de las líneas:** Primero discretizamos la EDP en espacio obteniendo un sistema de EDO. Este sistema se dice método semidiscreto.

Consideramos la ecuación de advección con condiciones de borde periódicas

$$\begin{cases} \frac{\partial u}{\partial t} + a \frac{\partial u}{\partial x} = 0, & \text{en } (0, 1) \\ u(x, 0) = u_0(x), & \text{en } (0, 1) \\ u(0, t) = u(1, t), & t \geq 0 \end{cases}$$

Usamos la aproximación con diferencias finitas

$$u_h(t) = (u_0(t), \dots, u_n(t)) \approx (u(x_0, t), \dots, u(x_n, t))$$

con  $u_0(t) = u_n(t)$

## Método de líneas

Usando la aproximación centrada

$$\frac{\partial u}{\partial x} \approx \frac{u_{j+1} - u_{j-1}}{2h}$$

obtenemos el siguiente método semidiscreto

$$\begin{cases} u'_j(t) = \frac{-a}{2h}(u_{j+1}(t) - u_{j-1}(t)) & 1 \leq j \leq n-2 \\ u'_0(t) = \frac{-a}{2h}(u_1(t) - u_{n-1}(t)) \\ u'_{n-1}(t) = \frac{-a}{2h}(u_0(t) - u_{n-2}(t)) \end{cases}$$

## Método de líneas

Esto nos genera que, si  $U(t)$  es un vector con los valores de la solución en los nodos en el tiempo  $t$ , entonces satisface que

$$U'(t) = AU(t), \quad \text{donde } A = \begin{pmatrix} 0 & 1 & 0 & \dots & -1 \\ -1 & 0 & 1 & \ddots & 0 \\ 0 & \ddots & \ddots & \ddots & \vdots \\ & \ddots & -1 & 0 & 1 \\ 1 & 0 & \dots & -1 & 0 \end{pmatrix}$$

Notemos que  $A$  es antisimétrica, es decir  $A = -A^T$ , sus valores propios están dados por

$$\lambda_k = -i \frac{a}{h} \sin(2\pi k h), \quad k = 1, \dots, n$$

con vector propio correspondiente  $v^k \in \mathbb{R}^n$  tal que  $v_j^k = \exp(2\pi i k j h)$ , para  $k = 1, \dots, n$ .

Teniendo esto en cuenta, si queremos discretizar en tiempo debemos poner atención a la región de estabilidad del método, y asegurarnos que esta incluya a los valores propios.

## Ejemplos, MOL

- **Euler Explícito:** El método resulta en  $U^{n+1} = (I + \Delta t A)U^n$ , y es absolutamente estable si  $|1 + \Delta t \lambda| < 1$ , así que su región de estabilidad es el círculo unitario centrado en  $-1$ . Así, sin importar la razón  $\Delta t/h$ , como los valores propios son imaginarios jamás estarán en la región de estabilidad.
- **Leap-frog:** Este método está dado por la aproximación de la derivada

$$\frac{U^{n+1} - U^{n-1}}{2\Delta t} = AU^n$$

y queda como

$$u_j^{n+1} = u_j^n - \frac{a\Delta t}{h}(u_{j+1}^n - u_{j-1}^n).$$

Su región de estabilidad está dada por el intervalo  $(-i, i)$ , así que el método será estable para la ecuación de advección si  $\left| \frac{a\delta t}{h} \right| < 1$ .

## Ejemplos, MOL

□ **Lax-Friedrichs:** Este método esta dado por

$$u_j^{n+1} = \frac{1}{2}(u_{j-1}^n + u_{j+1}^n) - a \frac{\Delta t}{2h}(u_{j+1}^n - u_{j-1}^n)$$

y lo reescribimos como

$$u_j^{n+1} = u_j^n - a \frac{\Delta t}{2h}(u_{j+1}^n - u_{j-1}^n) + \frac{1}{2}(u_{j-1}^n - 2u_j^n + u_{j+1}^n)$$

$$\rightarrow u_j^{n+1} - u_j^n + a \left( \frac{u_{j+1}^n - u_{j-1}^n}{2h} \right) = \frac{h^2}{2\Delta t} \left( \frac{u_{j-1}^n - 2u_j^n + u_{j+1}^n}{h^2} \right)$$

Asumiendo  $\frac{\Delta t}{h}$  fijo, entonces  $\frac{h^2}{\Delta t} \rightarrow 0$ , así que el método se ve como resolver

$$\frac{\partial u}{\partial t} + a \frac{\partial u}{\partial x} = \varepsilon \frac{\partial^2 u}{\partial x^2}; \quad \varepsilon = \frac{h^2}{2\Delta t}$$

## Ejemplo, MOL

Este se puede escribir como  $\frac{d}{dt}U(t) = A_\varepsilon U(t)$ , con

$$A_\varepsilon = \frac{a}{2h} \begin{pmatrix} 0 & 1 & & & -1 \\ -1 & 0 & 1 & & \\ & \ddots & \ddots & \ddots & \\ & & -1 & 0 & 1 \\ 1 & & & -1 & 0 \end{pmatrix} - \frac{\varepsilon}{h^2} \begin{pmatrix} 2 & -1 & & & -1 \\ -1 & 2 & -1 & & \\ & \ddots & \ddots & \ddots & \\ & & -1 & 2 & -1 \\ -1 & & & -1 & 2 \end{pmatrix}$$

Se puede probar que los valores propios de  $A_\varepsilon$  están sobre el plano complejo de la izquierda, así que hay esperanza para Euler explícito con esta aproximación. En particular, los valores propios corresponden a

$$\mu_j = -\frac{ia}{h} \sin(2\pi jh) - \frac{2\varepsilon}{h^2} (1 - \cos(2\pi jh)).$$

## Ejemplos, MOL

□ **Lax-Wendroff:** Este método viene de la relación

$$U^{n+1} = U^n + \Delta t A U^n + \frac{1}{2} \Delta t^2 A^2 U^n,$$

y da la regla de actualización

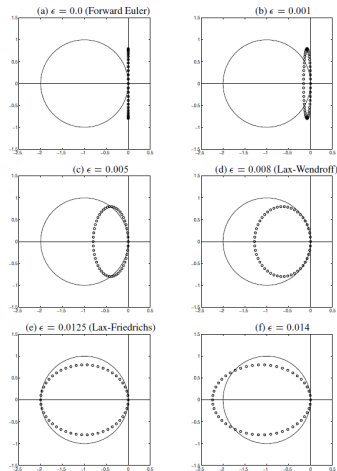
$$u_j^{n+1} = u_j^n - \frac{a \Delta t}{h} (u_{j+1}^n - u_{j-1}^n) + \frac{a^2 \Delta t^2}{2h^2} (u_{j-1}^n - 2u_j^n + u_{j+1}^n).$$

Esto resulta en un método de orden 2, que se deriva de

$$\begin{aligned} u(x, t + \Delta t) &= u(x, t) + \Delta t \frac{\partial}{\partial t} u(x, t) + \frac{1}{2} \Delta t^2 \frac{\partial^2}{\partial t^2} u(x, t) + \dots \\ &= u(x, t) - \Delta t a \frac{\partial}{\partial x} u(x, t) + \frac{1}{2} \Delta t^2 a^2 \frac{\partial^2}{\partial x^2} u(x, t) + \dots \\ &\rightarrow \frac{d}{dt} U(t) = A_\varepsilon U(t); \quad \varepsilon = \frac{a^2 \Delta t}{2} \end{aligned}$$

## Ejemplos, MOL

En la siguiente imagen se puede ver una visualización de los valores propios de la matriz  $A_\epsilon$  asociadas a varios métodos, y si se encuentran todos o no en la región de estabilidad:



**Figure 10.1.** Eigenvalues of the matrix  $A_\epsilon$  in (10.15), for various values of  $\epsilon$ , in the case  $h = 1/50$  and  $k = 0.8h$ ,  $a = 1$ , so  $ak/h = 0.8$ . (a) shows the case  $\epsilon = 0$  which corresponds to the forward Euler method (10.5). (d) shows the case  $\epsilon = a^2k/2$ , the Lax-Wendroff method (10.18). (e) shows the case  $\epsilon = h^2/2k$ , the Lax-Friedrichs method (10.6). The method is stable for  $\epsilon$  between  $a^2k/2$  and  $h^2/2k$ , as in (d) through (e).



## Ejemplos, MOL

- **Métodos Upwind:** En este caso usamos aproximaciones no simétricas: observando que podemos aproximar la derivada por la derecha o la izquierda

$$\frac{\partial}{\partial x} u(x_j, t) \approx \frac{1}{h} (u_j(t) - u_{j-1}(t))$$

$$\frac{\partial}{\partial x} u(x_j, t) \approx \frac{1}{h} (u_{j+1}(t) - u_j(t))$$

que corresponden a los métodos

$$u_j^{n+1} = u_j^n - a \frac{\Delta t}{h} (u_j^n - u_{j-1}^n)$$

$$u_j^{n+1} = u_j^n - a \frac{\Delta t}{h} (u_{j+1}^n - u_j^n)$$

## Método Upwind

Que método usamos?. Para la ecuación de advección hay una asimetría, producto de que la ecuación modela traslación a velocidad  $a$ . De este modo,

- Si  $a > 0$ , la solución se mueve a la derecha,
- Si  $a < 0$ , la solución se mueve a la izquierda.

Entonces, elegimos el método por el signo de  $a$ , de acuerdo a que

$$u(x_j, t + \Delta t) = u(x_j - a\Delta t, t)$$

esto nos dice que la solución en  $x_j$  en  $t + \Delta t$  esta dada por el dato a la izquierda de  $x_j$  si  $a > 0$ , y a la derecha si  $a < 0$ .

## Estabilidad de métodos upwind

Reescribimos la ecuación de upwind (la segunda) como

$$u_j^{n+1} = u_j - \frac{a\Delta t}{h}(u_{j+1}^n - u_{j-1}^n) + \frac{a\Delta t}{h}(u_{j+1}^n - 2u_j^n + u_{j-1}^n)$$

$$\rightarrow \frac{d}{dt}U(t) = A_\varepsilon U(t); \quad \varepsilon = \frac{a}{h}2$$

Se tiene estabilidad si  $\left| \frac{a\Delta t}{h} \right| \leq 1$  y si

$$-2 < -2\varepsilon \frac{\Delta t}{h^2} < 0 \rightarrow \varepsilon > 0.$$

Para  $\frac{ah}{2}, \varepsilon > 0$  solo si  $a > 0$ .

## Métodos

Podemos hacer un análisis similar para encontrar el valor de  $\varepsilon$  asociado a los métodos de Lax-Friedrichs y Lax-Wendroff, los cuales se resumen en la siguiente tabla:

	Lax-Friedrichs	Lax-Wendroff	Upwind
$\varepsilon$	$\frac{h^2}{2\Delta t}$	$\frac{a^2 \Delta t}{2}$	$\frac{ah}{2}$
$\nu$	$\frac{ah\nu}{2}$	$\frac{ah}{2\nu}$	$\frac{ah}{2}$

En la tercera columna escribimos  $\varepsilon$  en términos del **número de Courant**, denotado por  $\nu = \frac{a\Delta t}{h}$ . Observemos que si  $0 < \nu < 1$ , luego  $\varepsilon_{LW} < \varepsilon_{Up} - \varepsilon_{LF}$ .